

یک روش جدید در آنالیز خطای رفع ابهام در یک سیستم اندازه‌گیری لحظه‌ای فرکانس

محمود محمد طاهری

استادیار گروه مهندسی برق و کامپیوتر - دانشکده فنی - دانشگاه تهران

محمود کمرهای

دانشیار گروه مهندسی برق و کامپیوتر - دانشکده فنی - دانشگاه تهران

اسفندیار مهرشاهی

پژوهشگر مرکز تحقیقات مخابرات ایران

(تاریخ دریافت ۷۷/۹/۳، تاریخ تصویب ۷۸/۲/۲۵)

چکیده

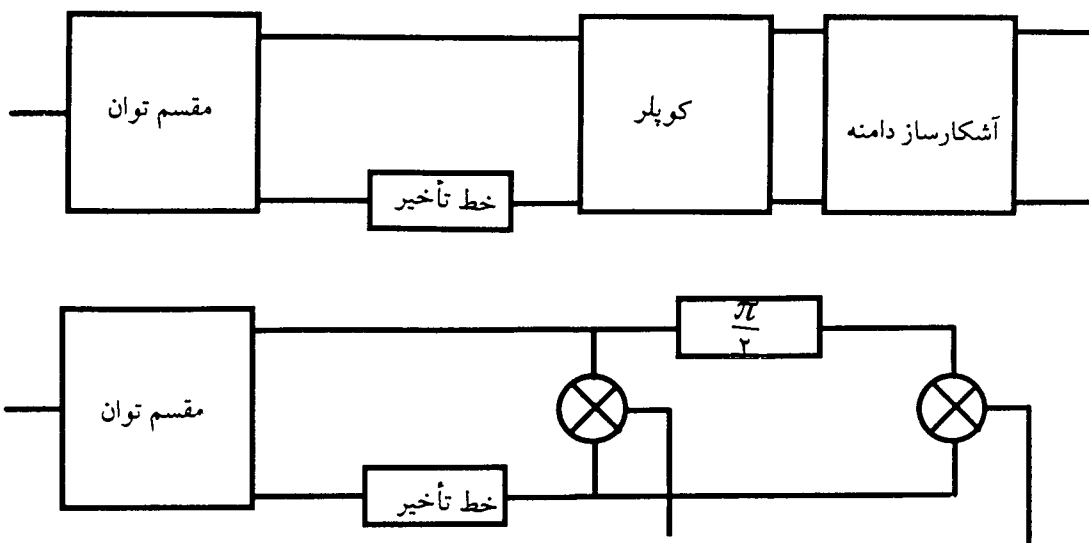
اندازه‌گیری لحظه‌ای فرکانس با استفاده از خطوط تأخیردار یکی از روش‌های متداول می‌باشد که در صورت عملکرد ایده‌آل کلیه قطعات و عناصر بکار رفته در سیستم پاسخ دقیق حاصل خواهد شد که به این نکته در بعضی از مراجع نیز اشاره شده است اما چون عناصر و زیرسیستم‌های تشکیل دهنده سیستم کلی اندازه‌گیری لحظه‌ای فرکانس ایده‌آل نمی‌باشند نتایج حاصل با خطاهایی همراه خواهد بود که آنالیز خطای رفع ابهام را اجتناب‌ناپذیر می‌نماید. در این مقاله پس از معرفی سیستم اندازه‌گیری لحظه‌ای فرکانس که با استفاده از تقسیم سیگنال مورد اندازه‌گیری به دو قسمت و سپس عبور دادن یکی از این سیگنالها از خط تأخیرداری که تأخیری به میزان $\pi/2$ ایجاد می‌نماید و ضرب این سیگنال تأخیریافته یکبار در سیگنال ورودی و بار دیگر در سیگنال ورودی با اختلاف فاز $\pi/2$ و تقسیم خروجی این ضرب کننده‌های عبارت ($tg(\omega\tau)$) قابل اندازه‌گیری خواهد بود که چون تأخیر $\pi/2$ معلوم است فرکانس ω تعیین می‌گردد. بدینهی است که اگر $2\pi/\omega\tau > 2\pi$ باشد ابهام در اندازه‌گیری فرکانس خواهیم داشت. مقاله حاضر به آنالیز خطای رفع ابهام روش جدیدی برای رفع ابهام می‌پردازد.

کلید واژه‌ها: خط تاخیر، رادار، رفع ابهام، اندازه‌گیری لحظه‌ای فرکانس، پردازشگر، کالیبراسیون، محدوده دینامیکی، فاز، قانون مربعی^۱، دیود، خطای

مقدمه

یکبار در سیگنال دوم و یکبار در سیگنال سوم تغییر فاز یافته به اندازه $\frac{\pi}{2}$ ضرب می‌شود. در اینصورت خروجی ضرب کننده اول متناسب با $A \cos(\omega\tau)$ و خروجی ضرب کننده دوم متناسب با $A \sin(\omega\tau)$ می‌باشد که A دامنه سیگنال ورودی است. در صورت معلوم بودن A امکان استفاده از فقط یک ضرب کننده وجود دارد اما چون معمولاً دامنه سیگنال ورودی نامعین و بر حسب فاصله فرستنده و سیستم اندازه‌گیر فرکانس و عوامل متغیر است لذا با استفاده از دو مدار ضرب کننده و تقسیم سیگنالهای خروجی آنها عبارت ($tg(\omega\tau)$) بدست می‌آید که مستقل از دامنه است و با اندازه‌گیری آن و معلوم بودن میزان تأخیر $\pi/2$ فرکانس مجہول ω

شناسایی رادارهای مختلف مبتنی بر پارامترهای متعددی از جمله فرکانس سیگنال راداری، زاویه ورود، زمان ورود و غیره است. تعیین فرکانس لحظه‌ای رادار با توجه به امکان وجود انواع پالس‌های راداری ارسال شده از فرستنده‌های مختلف و در مدت زمانی که هنوز پالس بعدی به این سیستم وارد نشده است از اهمیت بسیاری برخوردار است و این نکته لزوم استفاده از یک سیستم پردازشگر سریع اطلاعات حاصل از قسمت آنالوگ مدار را مشخص می‌نماید. شکل (۱) بلوک دیاگرام مدار اندازه‌گیر لحظه‌ای فرکانس رانشان می‌دهد. سیگنال ورودی توسط مقسم توان به دو قسمت مساوی تبدیل شده و سپس سیگنال تأخیریافته به اندازه $\pi/2$ قسمت اول،



شکل ۱: بلوک دیاگرام یک سیستم اندازه‌گیر لحظه‌ای فرکانس.

$$b = A \alpha_1 \alpha_{12} \gamma_2 \angle(\psi_2 + 2\phi_1 + \theta_1 + \theta_2) + \\ A \alpha_1 \alpha_{12} \alpha_{13} \gamma_1 \gamma_2 \angle(2\psi_1 + \phi_1 + \theta_1 - \omega\tau + \theta_2 + \theta_4) \quad (1-\text{ب})$$

$$c = A \alpha_1 \alpha_{12} \gamma_2 \angle(\psi_2 + 2\phi_1 + \theta_1 + \theta_2) + \\ A \alpha_1 \alpha_{12} \alpha_{13} \gamma_1 \gamma_2 \angle(\psi_2 + \phi_1 + \theta_1 - \omega\tau + \psi_1 + \theta_3 + \theta_4) \quad (1-\text{ج})$$

$$d = A \alpha_1 \alpha_{12} \gamma_1 \angle(\psi_1 + 2\phi_1 + \theta_1 + \theta_2) + \\ A \alpha_1 \alpha_{12} \alpha_{13} \gamma_1 \gamma_2 \angle(2\psi_2 + \phi_1 + \theta_1 - \omega\tau + \theta_3 + \theta_4) \quad (1-\text{د})$$

در حالت ایده‌آل داریم:

$$\alpha_1 = \gamma_1 = \gamma_2 = \frac{\sqrt{2}}{2} \quad \alpha_{12} = \alpha_{13} = 1$$

$$\psi_1 = -\frac{\pi}{2} \quad \psi_2 = -\pi \quad (2)$$

بنابراین مقادیر a و b و c و d را می‌توان بصورت زیر نوشت:

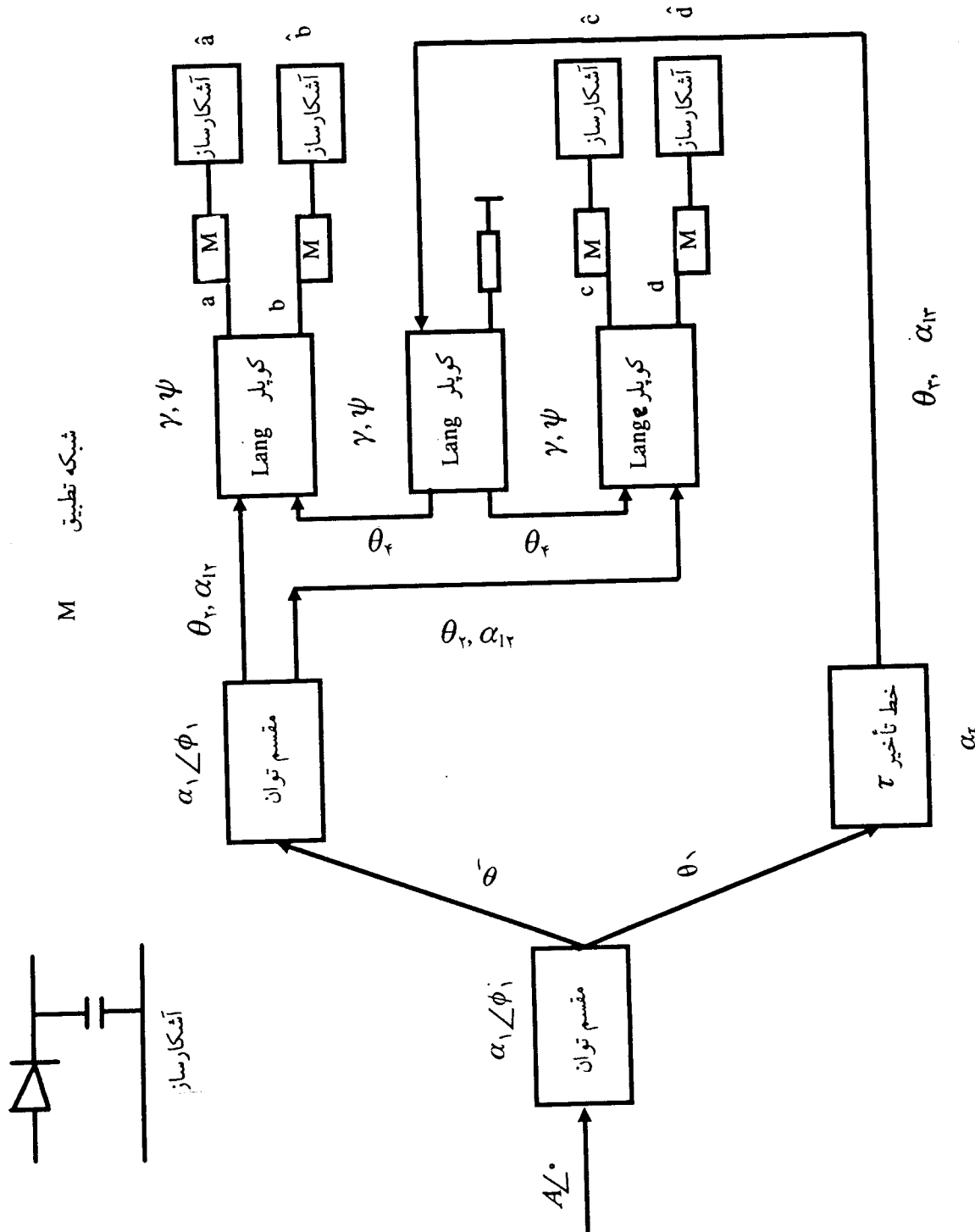
$$a = \frac{A}{2\sqrt{2}} \angle\left(-\frac{\pi}{2} + 2\phi_1 + \theta_1 + \theta_2\right) + \frac{A}{2\sqrt{2}} \angle\left(-\frac{3\pi}{2} + \phi_1 + \theta_1 - \omega\tau + \theta_3 + \theta_4\right) \quad (3-\text{الف})$$

بدست خواهد آمد [۱]. به عبارت دیگر ورودی بخش پردازشگر (مبدل آنالوگ به دیجیتال) سیگنال $\operatorname{tg}(\omega\tau)$ می‌باشد.

اگر $\theta = \omega\tau$ باشد در اینصورت خطای اندازه‌گیری فرکانس $\frac{df}{2\pi\tau}$ خواهد بود. برای نداشتن ابهام در اندازه‌گیری فرکانس باید شرط $\Delta\omega\tau = 2\pi$ برقرار باشد که $\Delta\omega$ پهنای باند فرکانسی بدون ابهام یعنی اختلاف بین بالاترین و پایین‌ترین فرکانس قابل اندازه‌گیری است. در اینصورت $\Delta f = \frac{1}{\tau}$ می‌باشد مثلاً اگر $f_1 = 8 \text{ GHz}$ و $f_2 = 12 \text{ GHz}$ پایین‌ترین و بالاترین فرکانس مورد اندازه‌گیری باشند، $\tau = 250 \text{ پیکو ثانیه}$ خواهد بود.

شکل (۲) بلوک دیاگرام کلی بخش RF سیستم را نشان می‌دهد. برای ضرب کردن از جمع کردن دو سیگنال و اعمال آن به دیودی که در ناحیه قانون مربعی کار می‌کند استفاده می‌شود [۲]. کوپلهای Lange در حقیقت نقش جمع‌کننده دو سیگنال با رعایت اختلاف فاز را ایفا می‌کنند. (جمع دو سیگنال هم فاز و تفریق دو سیگنال غیر هم فاز). برای سادگی تحلیل مسئله از روش فازوری استفاده می‌کنیم. با فرض ورودی $A \cos \omega t$ که بصورت $A \angle 0^\circ$ در حوزه فرکانس می‌باشد ورودی ضرب‌کننده‌ها در نقاط نشان داده شده در شکل (۲) بصورت زیر است:

$$a = A \alpha_1 \alpha_{12} \gamma_1 \angle(\psi_1 + 2\phi_1 + \theta_1 + \theta_2) + \\ A \alpha_1 \alpha_{12} \alpha_{13} \gamma_1 \gamma_2 \angle(\psi_2 + \phi_1 + \theta_1 - \omega\tau + \psi_1 + \theta_3 + \theta_4) \quad (1-\text{الف})$$



$$\frac{V_2}{V_1} = \operatorname{tg} \omega \tau \quad (\text{ج}-۶)$$

که در حقیقت خروجی بخش RF می‌باشد که با اندازه‌گیری آن توسط مدار A/D و بخش پردازشگر و با داشتن τ فرکانس مجهول ω بدست می‌آید [۳]. در شرایط واقعی خواهیم داشت:

$$\hat{a} = (A_{\alpha_1 \alpha_{l2} \gamma_1})^{\frac{1}{2}} [\alpha_1^{\frac{1}{2}} + (\alpha_{l2} \gamma_1 \frac{\alpha_{l2}}{\alpha_{l2}})^{\frac{1}{2}} - \gamma_{\alpha_1 \alpha_{l2} \gamma_1} \frac{\alpha_{l2}}{\alpha_{l2}} \cos(\omega \tau + \phi_1 + \theta_2 - \theta_3 - \theta_4)] f_a(A, f) \quad (\text{الف}-۷)$$

$$\hat{b} = (A_{\alpha_1 \alpha_{l2} \gamma_1})^{\frac{1}{2}} [\alpha_1^{\frac{1}{2}} \left(\frac{\gamma_2}{\gamma_1} \right)^{\frac{1}{2}} + (\alpha_{l2} \gamma_1 \frac{\alpha_{l2}}{\alpha_{l2}})^{\frac{1}{2}} + \gamma_{\alpha_1 \alpha_{l2} \gamma_1} \frac{\alpha_{l2}}{\alpha_{l2}} \cos(\omega \tau + \phi_1 + \theta_2 - \theta_3 - \theta_4)] f_b(A, f) \quad (\text{ب}-۷)$$

$$\hat{c} = (A_{\alpha_1 \gamma_1})^{\frac{1}{2}} [\alpha_1^{\frac{1}{2}} + (\alpha_{l2} \gamma_1 \frac{\alpha_{l2}}{\alpha_{l2}})^{\frac{1}{2}} - \gamma_{\alpha_1 \alpha_{l2} \gamma_1} \frac{\alpha_{l2}}{\alpha_{l2}} \sin(\omega \tau + \phi_1 + \theta_2 - \theta_3 - \theta_4)] f_c(A, f) \quad (\text{ج}-۷)$$

$$\hat{d} = (A_{\alpha_1 \alpha_{l2} \gamma_2})^{\frac{1}{2}} [\alpha_1^{\frac{1}{2}} \left(\frac{\gamma_1}{\gamma_2} \right)^{\frac{1}{2}} + (\alpha_{l2} \gamma_2 \frac{\alpha_{l2}}{\alpha_{l2}})^{\frac{1}{2}} + \gamma_{\alpha_1 \alpha_{l2} \gamma_2} \frac{\alpha_{l2}}{\alpha_{l2}} \sin(\omega \tau + \phi_1 + \theta_2 - \theta_3 - \theta_4)] f_d(A, f) \quad (\text{د}-۷)$$

که $f(A, f)$ مشخصه فرکانسی دیود می‌باشد و تابع دامنه ورودی و فرکانس است در اینحالت خواهیم داشت:

$$\frac{V_2}{V_1} = \frac{\hat{d} - \hat{c}}{\hat{b} - \hat{a}} = S(A, f) \frac{M(A, f) + \sin(\omega \tau + \psi)}{N(A, f) + \cos(\omega \tau + \psi)} \quad (\text{ا}-۸)$$

که در آن

$$M(A, f) = \frac{\alpha_1^{\frac{1}{2}} \alpha_{l2}^{\frac{1}{2}} \left(\left(\frac{\gamma_1}{\gamma_2} \right)^{\frac{1}{2}} f_d - f_c \right) + \alpha_1^{\frac{1}{2}} \alpha_{l2}^{\frac{1}{2}} \left(\gamma_2^{\frac{1}{2}} f_d - \gamma_1^{\frac{1}{2}} f_c \right)}{\gamma_{\alpha_1 \alpha_{l2} \alpha_{l2} \gamma_1} (f_d + f_c)} \quad (\text{الف}-۹)$$

$$N(A, f) = \frac{\alpha_1^{\frac{1}{2}} \alpha_{l2}^{\frac{1}{2}} \left(\left(\frac{\gamma_1}{\gamma_2} \right)^{\frac{1}{2}} f_b - f_a \right) + \alpha_1^{\frac{1}{2}} \alpha_{l2}^{\frac{1}{2}} \left(\gamma_2^{\frac{1}{2}} f_b - \gamma_1^{\frac{1}{2}} f_a \right)}{\gamma_{\alpha_1 \alpha_{l2} \alpha_{l2} \gamma_2} (f_b + f_a)} \quad (\text{ب}-۹)$$

$$b = \frac{A}{\sqrt{2}} \angle (-\pi + 2\phi_1 + \theta_1 + \theta_2) + \frac{A}{\sqrt{2}} \angle (-\pi + \phi_1 + \theta_1 - \omega \tau + \theta_3 + \theta_4) \quad (\text{ب}-۳)$$

$$c = \frac{A}{\sqrt{2}} \angle (-\pi + 2\phi_1 + \theta_1 + \theta_2) + \frac{A}{\sqrt{2}} \angle \left(-\frac{\pi}{2} + \phi_1 + \theta_1 - \omega \tau + \theta_3 + \theta_4 \right) \quad (\text{ج}-۳)$$

$$d = \frac{A}{\sqrt{2}} \angle \left(-\frac{\pi}{2} + 2\phi_1 + \theta_1 + \theta_2 \right) + \frac{A}{\sqrt{2}} \angle (-2\pi + \phi_1 + \theta_1 - \omega \tau + \theta_3 + \theta_4) \quad (\text{د}-۳)$$

پس از عبور سیگنال‌های a و b و c و d از دیودهایی که در ناحیه قانون مربعی کار می‌کنند داریم:

$$\hat{a} = \frac{A}{4} [1 - \cos(\omega \tau + \phi_1 + \theta_2 - \theta_3 - \theta_4)] \quad (\text{الف}-۴)$$

$$\hat{b} = \frac{A}{4} [1 + \cos(\omega \tau + \phi_1 + \theta_2 - \theta_3 - \theta_4)] \quad (\text{ب}-۴)$$

$$\hat{c} = \frac{A}{4} [1 - \sin(\omega \tau + \phi_1 + \theta_2 - \theta_3 - \theta_4)] \quad (\text{ج}-۴)$$

$$\hat{d} = \frac{A}{4} [1 + \sin(\omega \tau + \phi_1 + \theta_2 - \theta_3 - \theta_4)] \quad (\text{د}-۴)$$

در صورتی که $\phi_1 + \theta_2 = \theta_3 + \theta_4$ باشد (که این شرط با تنظیم طول خطوط رابط بدست می‌آید) داریم:

$$\hat{a} = \frac{A}{4} (1 - \cos \omega t) \quad (\text{الف}-۵)$$

$$\hat{b} = \frac{A}{4} (1 + \cos \omega t) \quad (\text{ب}-۵)$$

$$\hat{c} = \frac{A}{4} (1 - \sin \omega t) \quad (\text{ج}-۵)$$

$$\hat{d} = \frac{A}{4} (1 + \sin \omega t) \quad (\text{د}-۵)$$

$$V_2 = \hat{d} - \hat{c} \quad V_1 = \hat{b} - \hat{a} \quad \text{اگر } V_2 = \hat{b} - \hat{a} \text{ باشد در اینصورت} \quad (\text{الف}-۶)$$

$$V_1 = \frac{A}{2} \cos \omega \tau \quad (\text{الف}-۶)$$

$$V_2 = \frac{A}{2} \sin \omega \tau \quad (\text{ب}-۶)$$

α_{12} : تلفات خط انتقال با طول الکتریکی θ_2
 α_r : تلفات خط تأخیر
 ϕ_1 : اختلاف فاز مقسوم توان

$$S(A, f) = \frac{\gamma_2 f_c + f_d}{\gamma_1 f_a + f_b} \quad (ج)$$

$$\psi = \phi_1 + \theta_2 - \theta_3 - \theta_4 \quad (د-ج)$$

آنالیز خطوط رفع و کالیبراسیون سیستم

حال با توجه به مطالب گفته شده سه حالت زیر را در نظر می‌گیریم.
 حالت اول

اگر تمام عناصر ایده‌آل باشند یعنی $f_a = f_b = \frac{\sqrt{2}}{2}$ و $\alpha_1 = \alpha_2 = \alpha_3 = \alpha_4 = 1$ (خطوط بدون تلف) و دامنه سیگнал ورودی نیز ثابت باشد در اینصورت خواهیم داشت $S=1$ و $N=0$ و $M=0$.

$$\frac{\hat{d} - \hat{c}}{\hat{b} - \hat{a}} = \operatorname{tg}(\omega\tau + \psi) = \operatorname{tg}\eta \quad (الف)$$

$$\eta = \operatorname{tg}^{-1} \frac{\hat{d} - \hat{c}}{\hat{b} - \hat{a}} \quad (ب)$$

در طراحی، فازهای $\varphi_1, \theta_2, \theta_3$ و θ_4 طوری تعیین می‌شوند که $\eta = \omega\tau$ باشد در اینصورت

$$f = \frac{\eta}{2\pi\tau} \quad (الف)$$

$$df = \frac{d\eta}{2\pi\tau} - \frac{\eta}{2\pi\tau^2} d\tau \quad (ب)$$

را می‌توان با توجه به دقت مدار پردازشگر و حد اکثر خطاب بست آورد:

$$|df|_{\max} = \frac{2\pi}{2^n 2\pi\tau} + \frac{2\pi}{2\pi\tau^2} d\tau = \frac{2^{-n}}{\tau} + \frac{d\tau}{\tau^2} \quad (13)$$

در رابطه فوق n تعداد بیت‌های پردازشگر است. با توجه به اینکه

با توجه به شکل (۲) و روابط داده شده در (۸) و (۹) لازم است به بررسی دقیق خطوط رفع ابهام در بخش RF پردازیم اگر در طراحی آشکارسازها از دیودهای زوج منطبق استفاده کنیم [۴]. در اینصورت $f_c = f_d$ و $f_a = f_b$ خواهند بود با توجه به این حالت روابط (۹) به صورت زیر تبدیل خواهند شد:

$$M(A, f) = \frac{1}{4} (\gamma_2 - \gamma_1) \left(\frac{\alpha_1 \alpha_{12}}{\gamma_1 \gamma_2 \alpha_{13} \alpha_r} - \frac{\alpha_r \alpha_{12}}{\gamma_1 \alpha_1 \alpha_{12}} \right) \quad (الف)$$

$$N(A, f) = \frac{1}{4} (\gamma_2 - \gamma_1) \left(\frac{\alpha_1 \alpha_{12}}{\gamma_1 \gamma_2 \alpha_{13} \alpha_r} - \frac{\alpha_r \alpha_{12}}{\gamma_2 \alpha_1 \alpha_{12}} \right) \quad (ب)$$

$$S(A, f) = \frac{\gamma_2 f_c}{\gamma_1 f_a} \quad (ج)$$

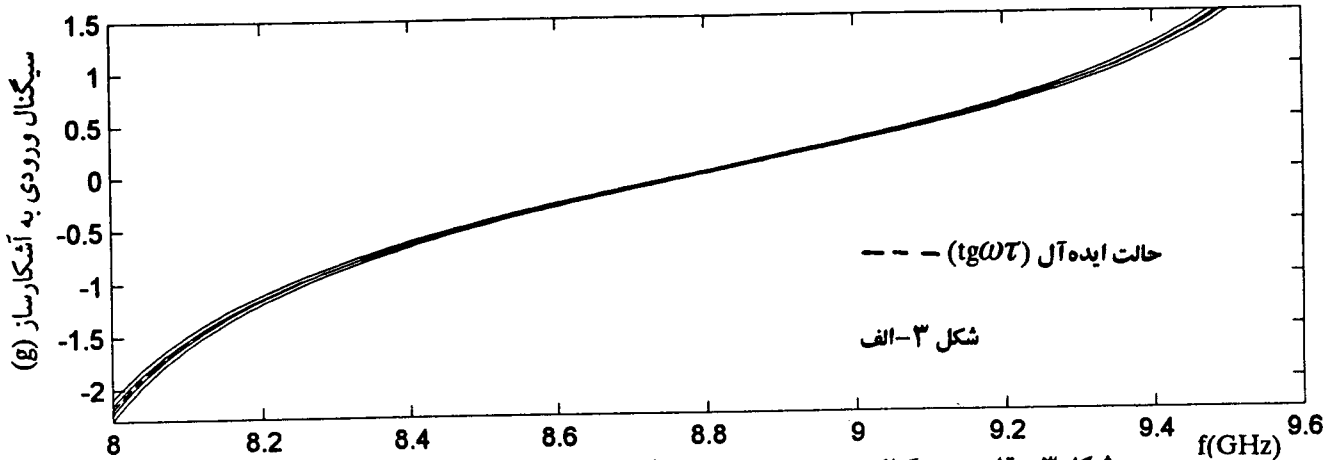
در روابط فوق پارامترها بصورت زیر تعریف می‌شوند:
 $f_{a,c}$: مشخصه تغییرات خروجی دیودهای آشکارساز a و c نسبت به ورودی

۷: افت مسیر مستقیم کوپلر

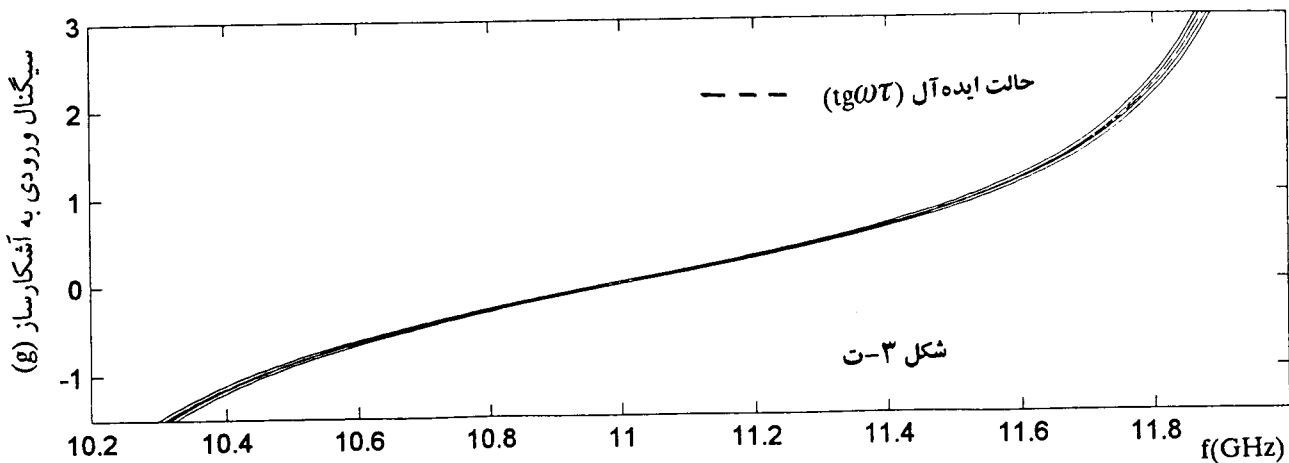
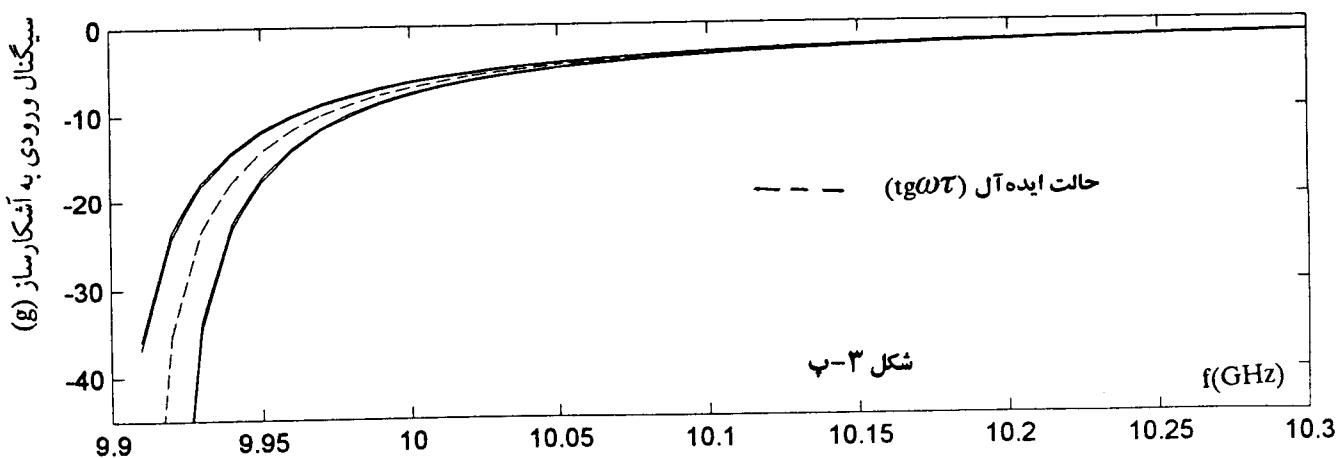
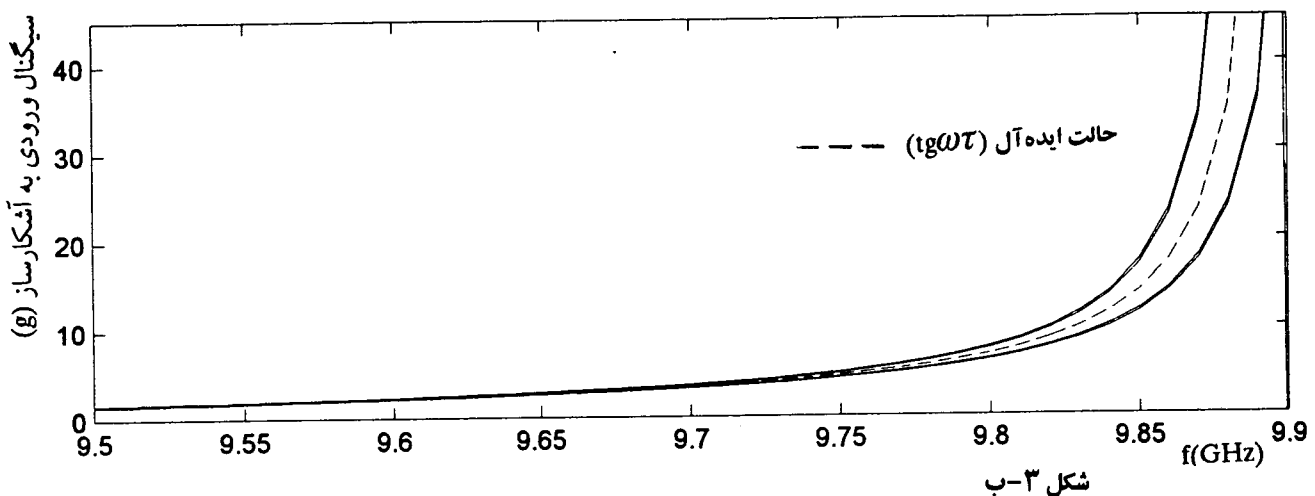
α_1 : ضریب تقسیم‌کننده توان

۷/۲: افت مسیر غیرمستقیم کوپلر

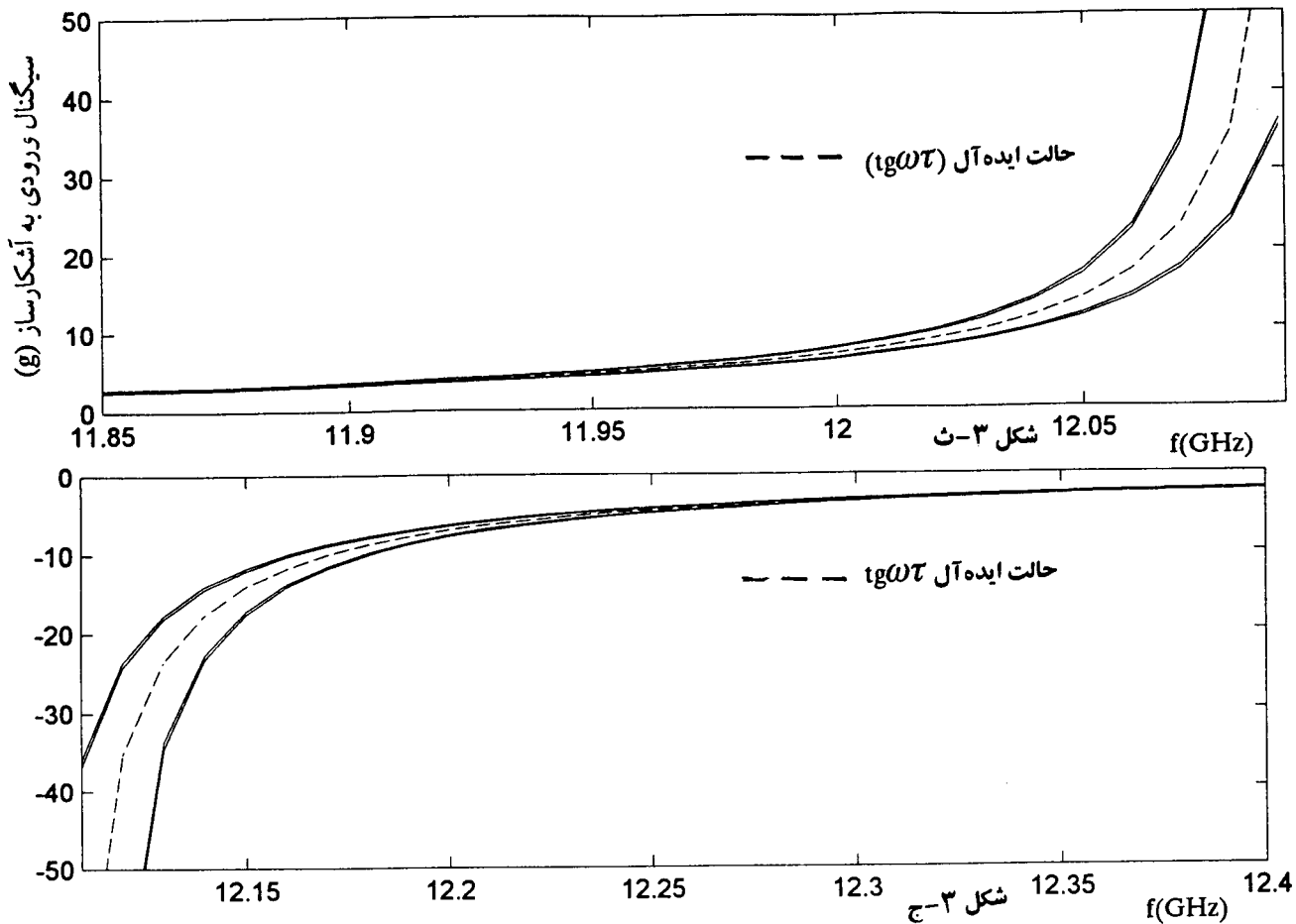
α_{12} : تلفات خط انتقال با طول الکتریکی



شکل ۳: مقایسه سیگنال خروجی از بخش RF (ورودی به آشکارساز) در چهار بدترین حالت با حالت ایده‌آل $\operatorname{tg}\omega\tau$ در باندهای فرکانسی مختلف.



ادامه شکل ۳: مقایسه سیگنال خروجی از بخش RF (ورودی به آشکارساز) در چهار بدترین حالت با
حالت ایده‌آل $\text{tg}\omega\tau$ در باندهای فرکانسی مختلف.



ادامه شکل ۳: مقایسه سیگنال خروجی از بخش RF (ورودی به آشکارساز) در چهار بدترین حالت با
حالت ایدهآل $\text{tg}\omega\tau$ در باندهای فرکانسی مختلف.

پهنهای باند بدون ابهام همانطوری که گفته شد $\Delta f = \frac{1}{\tau}$ است برای

باند X $\Delta f = 4/4 \text{ GHz}$ (در اینصورت $\Delta f = 4/4 \text{ MHz}$)

$\tau = 227/227 \text{ میلیثانیه}$

$$|df|_{\max} = 2^{-n} \Delta f + \Delta f^2 d\tau = \Delta f (2^{-n} + \Delta f d\tau) \quad (14-\text{الف})$$

$$|df|_{\max} = 4/4 \times 10^9 (2^{-n} + 4/4 \times 10^9 d\tau) \quad (14-\text{ب})$$

اگر محدوده دینامیکی RF ناچیز باشد در اینصورت با توجه به شبیه‌سازی کامپیوتری و احتساب بیش از ۲۰۰ درصد انحراف از مقادیر ثوری (در ثوری $\gamma_1 = 3/0.6 \text{ dB}$ می‌باشد) داریم:

$$\gamma_1 = -3 \pm 0.25 \text{ dB} \rightarrow 0.688 < \gamma_1 < 0.729$$

$$\gamma_2 = -3 \pm 0.25 \text{ dB} \rightarrow 0.688 < \gamma_2 < 0.729$$

$$\alpha_1 = -3 \pm 0.25 \text{ dB} \rightarrow 0.688 < \alpha_1 < 0.729$$

$$\alpha_{12} = -0.13 \text{ dB} \rightarrow 0.97 < \alpha_{12} < 1$$

$$\alpha_{13} = -0.13 \text{ dB} \rightarrow 0.97 < \alpha_{13} < 1$$

$$\alpha_\tau = -0.13 \text{ dB} \rightarrow 0.97 < \alpha_\tau < 1$$

در این حالت و با جایگزینی مقادیر حداقل و حداکثر پارامترهای فوق در روابط (۱۰-الف) تا (۱۰-ج) خواهیم داشت:

برای مس داریم $\Delta t = 16/87 \times 10^{-6} \text{ s}$ که در آن Δt محدوده حرارتی است که اگر در بدترین حالت ۱۰۰ درجه فرض کنیم خواهیم داشت:

$$|df|_{\max} = 4/4 \times 10^9 (2^{-n} + 1/687 \times 10^{-3}) \quad (15)$$

اگر حداکثر خطای قابل قبول در اندازه گیری فرکانس 12.5 MHz باشد در اینصورت تعداد بیت‌های پردازشگر معادل ۱۰ بیت خواهد شد (با $n=11$ در رابطه $15 \text{ خط} / 75 \text{ MHz}$ خواهد بود) که کمتر از

خطای مطلق خواهیم داشت با استفاده از تکنیک کالیبراسیون در بخش پردازشگر سیستم اندازه‌گیر فرکانس می‌توان این خطای سیستماتیک را به حدود صفر کاهش داد.

حالت سوم

در این مرحله علاوه بر تغییرات فرکانسی عناصر RF، محدوده دینامیکی ورودی را درنظر می‌گیریم عدم تقارن دیودها که مشخصه آنها تابعی از دامنه است موجب خطا و بروز ابهام می‌شود در اینجا درصد انحراف مجاز دیودها از حالت تقارن را جهت پرهیز از ابهام محاسبه می‌کنیم. بدیهی است پس از رفع ابهام خطای بوجود آمده ناشی از عدم ایده‌آل بودن مشخصه فرکانسی عناصر RF (مقسم توان و کوپلرهای Lange) قابل کالیبره کردن خواهد بود. مشخصه فرکانسی $\frac{\hat{d} - \hat{c}}{\hat{b} - \hat{a}}$ را در حالت واقعی (با احتساب انحراف از حالت ایده‌آل) در دامنه A درنظر می‌گیریم برای پرهیز از ابهام باید داشته باشیم.

$$\begin{aligned} |g(f + \Delta f_{\max}, A_0) - g(f, A_0)| &\geq \\ |g(f, A)|_{\max} - |g(f, A)|_{\min} & \end{aligned} \quad (17)$$

که در آن:

$$A_{\min} < A < A_{\max} \quad (17)$$

$$A_0 = \frac{A_{\min} + A_{\max}}{2} \quad (17)$$

$$\Delta S = \left[\left(\frac{f_c}{f_a} \right)_{\max} - \left(\frac{f_c}{f_a} \right)_{\min} \right] / \left(\frac{f_c}{f_a} \right)_{A_0} \quad (17)$$

عبارت (17-الف) در حقیقت نشان‌دهنده این مطلب است که تغییرات g به ازای حداکثر تغییرات دامنه ورودی باید کمتر از تغییر آن به ازای تغییرات فرکانس به اندازه Δf_{\max} باشد که

$$N_{\max} = M_{\max} = 1/34 \times 10^{-2}$$

$$N_{\min} = M_{\min} = -1/34 \times 10^{-2}$$

بنابراین اندازه‌گیری فرکانس را در چهار حالت بدترین درنظر می‌گیریم که این چهار حالت عبارتند از:

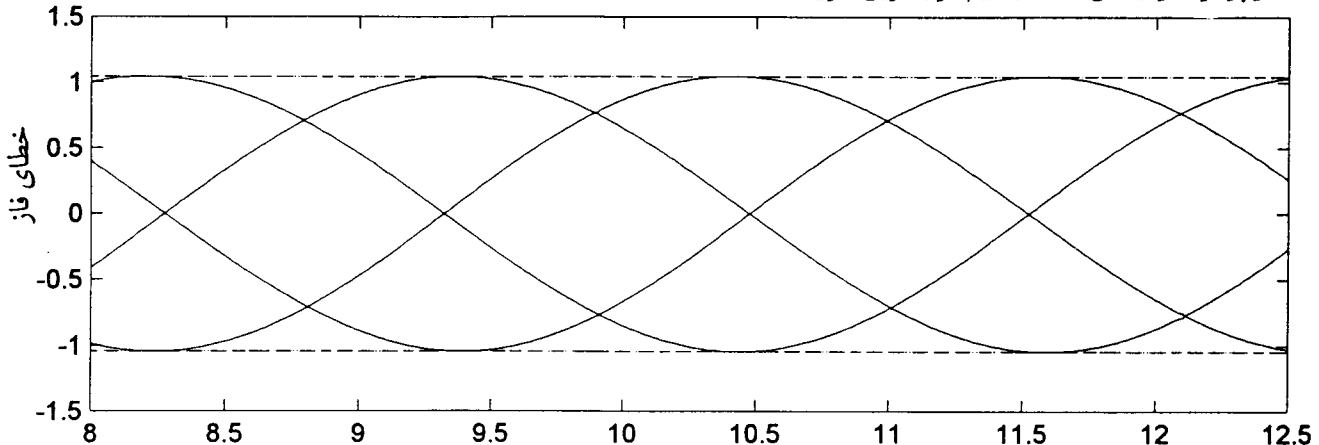
$$g = S \frac{M_{\max} + \sin(\omega\tau + \psi)}{N_{\max} + \cos(\omega\tau + \psi)} \quad (16-\text{الف})$$

$$g = S \frac{M_{\max} + \sin(\omega\tau + \psi)}{N_{\min} + \cos(\omega\tau + \psi)} \quad (16-\text{ب})$$

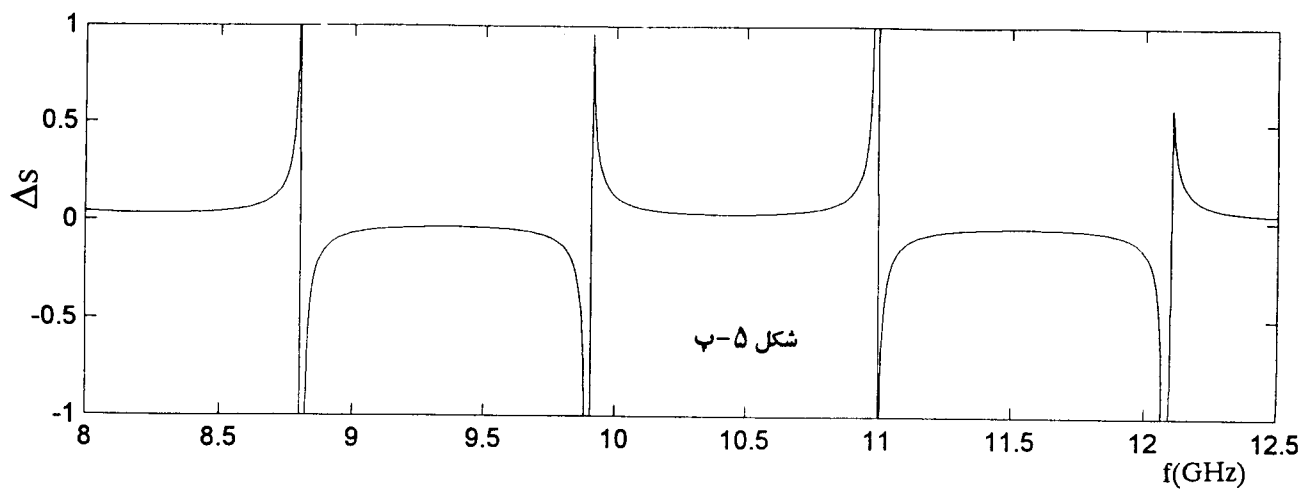
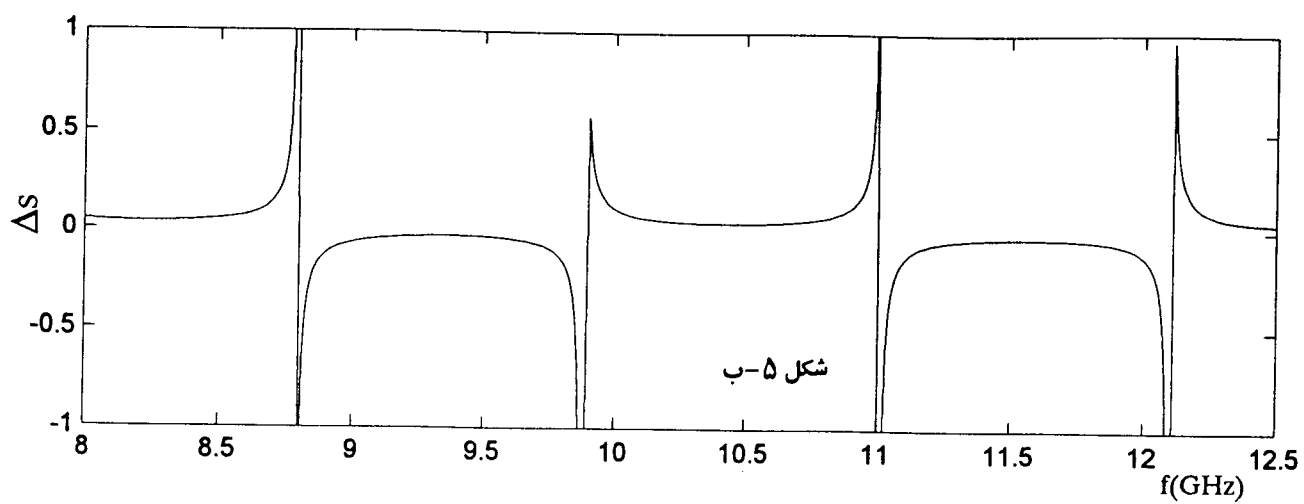
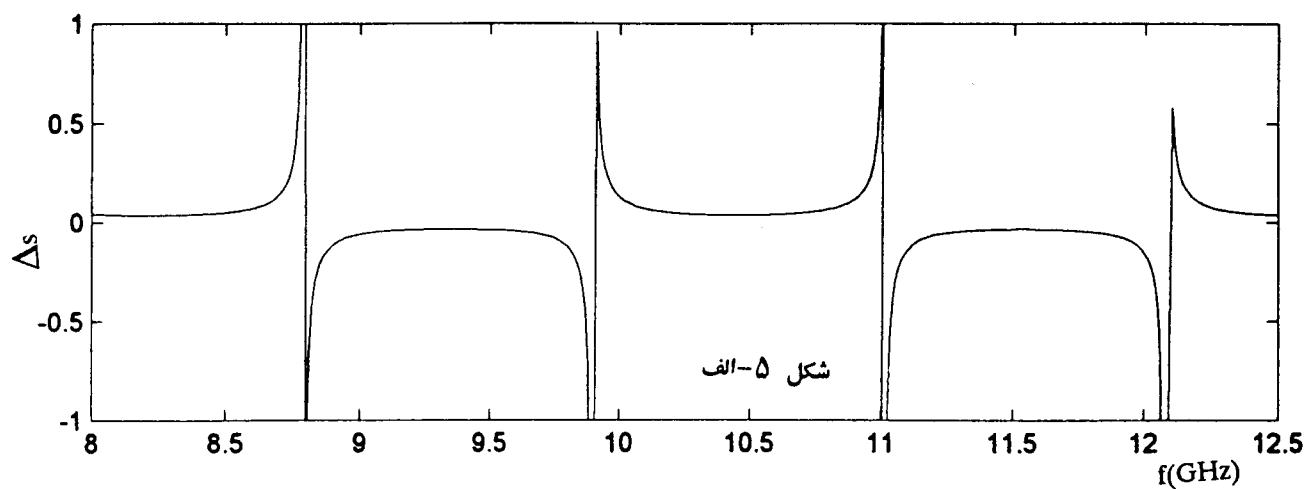
$$g = S \frac{M_{\min} + \sin(\omega\tau + \psi)}{N_{\max} + \cos(\omega\tau + \psi)} \quad (16-\text{ج})$$

$$g = S \frac{M_{\min} + \sin(\omega\tau + \psi)}{N_{\min} + \cos(\omega\tau + \psi)} \quad (16-\text{د})$$

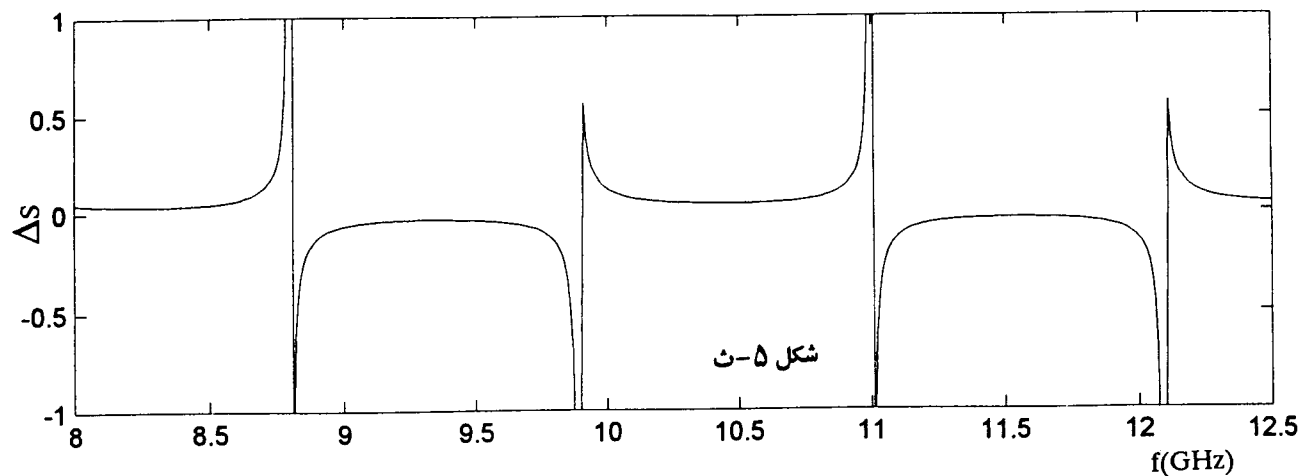
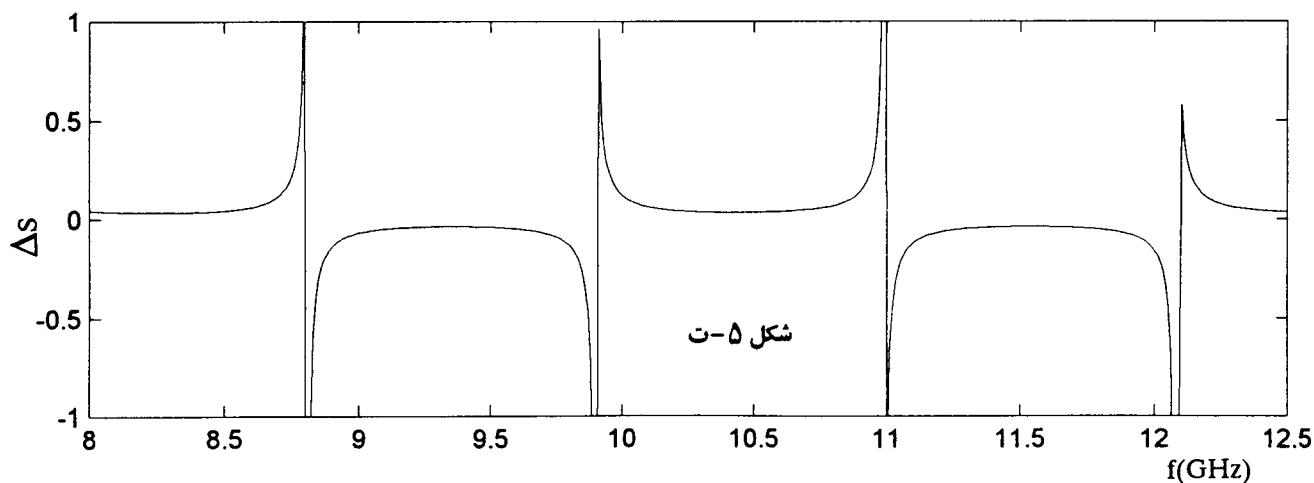
در این وضعیت بیشترین انحراف از حالت ایده‌آل ($M=N=0$) محاسبه و در شکل‌های (۳-الف) تا (۳-ج) در باند فرکانسی $8-12.4 \text{ GHz}$ رسم شده‌اند (تغییرات g برحسب f) که نشان‌دهنده مقایسه ۴ حالت فوق (بدترین حالتها) با حالت ایده‌آل $\text{tg}\omega\tau$ می‌باشد همانطوری که ملاحظه می‌شود بیشترین انحراف g از حالت ایده‌آل در فرکانس‌هایی است که زاویه $\omega\tau$ نزدیک $\frac{\pi}{2k+1}$ است یعنی حالتی که $\text{tg}\omega\tau$ بیشترین شبیه دارد که البته اختلاف فاز ناشی از این انحراف ناچیز است شکل (۴) نشان‌دهنده خطای زاویه در مقایسه با حالت ایده‌آل ($\text{tg}\omega\tau$) می‌باشد. همانطور که ملاحظه می‌شود در کل باند حداکثر خطا برای چهار بدترین حالت $\pm 1^\circ$ بواسطه غیرایده‌آل بودن مشخصه فرکانس عناصر RF می‌باشد که معادل خطای فرکانس $12.2 \text{ MHz} \pm 12.2 \text{ MHz}$ می‌باشد یعنی اگر پردازشگر ایده‌آل داشته باشیم در بدترین شرایط 12.2 MHz



شکل ۴: خطای اندازه‌گیری زاویه در حالت واقعی (با درنظر گرفتن غیر ایده‌آل بودن بخش RF) با حالت ایده‌آل $\text{tg}\omega\tau$



شکل ۵: منحنی های انحراف مجاز مشخصه دیودها از حالت تقارن جهت داشتن حداقل خطای اندازه گیری $12/5 \text{ MHz}$



ادامه شکل ۵: منحنی های انحراف مجاز مشخصه دیودها از حالت تقارن جهت داشتن حداقل خطای اندازه گیری $12/5 \text{ MHz}$.

(الف) تا (۵ - ث) نشان داده شده اثرات تغییر دامنه (محدوده دینامیکی ورودی) در نقاطی از فرکانس که عبارت g دارای شبیه زیادی است بسیار ناچیز است ($\Delta S > \Delta S_{\min}$) یعنی سیستم می تواند تغییرات زیاد دامنه یا عدم تقارن دیودها را به ازای خطای ثابت تحمل نماید. در صورت تجاوز عدم تقارن دیودها از حد مجاز اعمال بایاس به یکی از جفت دیودها جهت نزدیک کردن مشخصه آنها به یکدیگر مورد استفاده قرار می گیرد. کالیبراسیون سیستم پس از ساخت و بصورت نرم افزاری صورت خواهد گرفت محاسبات ذکر شده در بالا شرایط اطمینان از نبودن ابهام را مشخص می کند.

$\Delta f_{\max} = 12/5 \text{ MHz}$ همان دقیق اندازه گیری فرکانس است. شکل های (۵ - الف) تا (۵ - ث) مقادیر Δs مجاز برای $\Delta f = 12/5 \text{ MHz}$ را جهت نداشتن ابهام نشان می دهد (برای چهار بدترین شرایط و حالت ایده آل) Δs نهایی مقدار حداقل Δs ها می باشد.

$\Delta s = \min[0/033, 0/034, 0/033, 0/034] = 0/033$ این بدان معنی است که انحراف مجاز مشخصه دیودها از یکدیگر (درصد عدم تقارن دیودها) بر حسب تغییرات دامنه و در بدترین نقطه باند $\pm 1/3\%$ می باشد همانطوری که در منحنی های

نتیجه گیری

در این مقاله یک روش جدید در تجزیه و تحلیل خطای حاصل از تغییر در مشخصه فرکانسی عناصر RF و تغییر در دامنه سیگنال ورودی به آشکارساز مورد بررسی قرار گرفت. از آنجایی که عدم تقارن در مشخصه دامنه دیودها بر حسب فرکانس و دامنه ورودی عامل اصلی خطای اندازه گیری فرکانس است که در محدوده دینامیکی های زیاد عامل خطای می شود با تحلیل تابعیت مشخصه دیودها به فرکانس و دامنه سیگنال ورودی به قسمت پردازشگر مشخص شد که اگر عدم تقارن دیودها کمتر از $\pm 3/3$ درصد باشد می توان با کالیبراسیون نرم افزاری خطای را به صفر رسانید هرچند عدم تقارن بیشتر دیودها را می توان با اعمال بایاس های مختلف به آنها به حداقل رسانید.

حال با توجه به این مسئله مراحل کالیبراسیون را می توان بصورت زیر خلاصه کرد:

- ۱- ابتدا اطلاعات مربوط به $g = \operatorname{tg} \omega \tau$ در حافظه (Look up table) فاز یا فرکانس بخش پردازشگر قرار می گیرد.
- ۲- با اتصال یک منبع سیگنال به ورودی که قابلیت تغییر و نمایش فرکانس و دامنه را داشته باشد در هر نقطه فرکانسی (در باند ۱۲/۵ MHz) مقدار فاز یا فرکانس خروجی بخش پردازشگر را با مقداری که باید باشد مقایسه و مقدار واقعی را در خانه حافظه مورد مراجعه توسط سیستم قرار می دهیم جهت اطمینان از نبودن ابهام دامنه ورودی را در محدوده دینامیکی تغییر می دهیم. مقدار فرکانس پردازشگر نباید تغییر کند. این کار تا آخرین نقطه فرکانس ادامه می یابد. در انتهای سیستم مورد بحث کالیبره شده است. مزیت این نوع کالیبراسیون نرم افزاری بودن آن است.

مراجع

- 1 - East, P. W. (1983). "Design technique and performance of digital IFM." *Proceeding IEE*, Vol.129, No.3, 154-163.
- 2 - Goddard, N. E. (1972). "Instantaneous frequency measuring receivers." *IEEE Trans. Microwave Theory Technique, MTT-20*, 292-293.
- 3 - Heaton, D. (1980). "The systems engineer's primer on IFM receivers." *Microwave Journal*, 71-85.
- 4 - Watson, H. A. (1969). *Microwave semiconductor devices and their circuit application*. Mac Graw Hill, Ch.12.

واژه نامه :

- | | |
|-------------------------|-------------------|
| 1 - Square law | قانون مربعی |
| 2 - Matched pair diodes | دیودهای زوج منطبق |

